

BOA COLOCAÇÃO E ESTABILIDADE EXPONENCIAL PARA UMA EQUAÇÃO DE VIGAS PIEZOELÉTRICAS COM DISSIPACÃO DO TIPO DERIVADA FRACIONÁRIA NO DOMÍNIO

Rafael Oliveira de Jesus

VIII ENCONTRO DE PÓS-GRADUAÇÃO EM MATEMÁTICA DA UFBA

(Universidade Federal da Bahia)

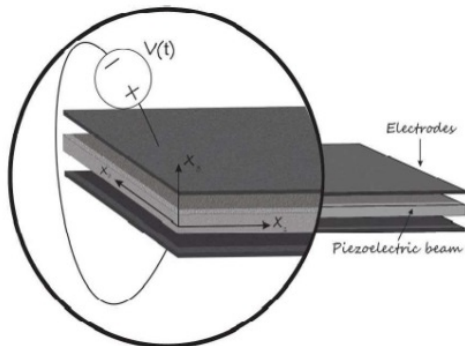
23/11/2023

Introdução

Materiais piezoelétricos têm a capacidade de converter energia mecânica em elétrica e vice-versa. Devido a esta habilidade especial, estes materiais têm sido amplamente utilizados como sensores e atuadores na área de estruturas e sistemas inteligentes.

Introdução

Materiais piezoelétricos têm a capacidade de converter energia mecânica em elétrica e vice-versa. Devido a esta habilidade especial, estes materiais têm sido amplamente utilizados como sensores e atuadores na área de estruturas e sistemas inteligentes.



Introdução

Problema modelado:

$$\left\{ \begin{array}{l} \rho u_{tt} - \chi u_{xx} + \gamma \beta v_{xx} = 0, \quad x \in [0, L], \quad t \geq 0, \\ \mu v_{tt} - \beta v_{xx} + \gamma \beta u_{xx} = 0, \quad x \in [0, L], \quad t \geq 0 \\ u(x, 0) = u_0(x), \quad u_t(x, 0) = u_1(x) \\ v(x, 0) = v_0(x), \quad v_t(x, 0) = v_1(x), \\ u(0, t) = u(L, t) = 0, \quad v(0, t) = v(L, t) = 0, \quad t \geq 0, \end{array} \right. \quad (1)$$

onde $u = u(x, t)$ representa o deslocamento transversal da viga e $v = v(x, t)$, a carga total do deslocamento elétrico ao longo da direção transversal.

Introdução

Problema modelado:

$$\begin{cases} \rho u_{tt} - \chi u_{xx} + \gamma\beta v_{xx} = 0, & x \in [0, L], & t \geq 0, \\ \mu v_{tt} - \beta v_{xx} + \gamma\beta u_{xx} = 0, & x \in [0, L], & t \geq 0 \\ u(x, 0) = u_0(x), & u_t(x, 0) = u_1(x) \\ v(x, 0) = v_0(x), & v_t(x, 0) = v_1(x), \\ u(0, t) = u(L, t) = 0, & v(0, t) = v(L, t) = 0, & t \geq 0, \end{cases} \quad (1)$$

onde $u = u(x, t)$ representa o deslocamento transversal da viga e $v = v(x, t)$, a carga total do deslocamento elétrico ao longo da direção transversal. ρ denota a densidade de massa por unidade de volume, χ a rigidez elástica, γ o coeficiente piezoelétrico, μ a permeabilidade magnética e β o coeficiente de resistência à água da viga.

Modelo com dissipação não-local proposto

$$\left\{ \begin{array}{l} u_{tt} - \chi u_{xx} + \gamma \beta v_{xx} + \partial_t^{\alpha, \eta} u = 0, \quad x \in [0, L], \quad t \geq 0, \\ v_{tt} - \beta v_{xx} + \gamma \beta u_{xx} = 0, \quad x \in [0, L], \quad t \geq 0, \\ u(x, 0) = u_0(x), \quad u_t(x, 0) = u_1(x), \quad x \in [0, L], \\ v(x, 0) = v_0(x), \quad v_t(x, 0) = v_1(x), \quad x \in [0, L], \\ u(0, t) = u(L, t) = 0, \quad v(0, t) = v(L, t) = 0, \quad t \geq 0, \end{array} \right. \quad (2)$$

Modelo com dissipação não-local proposto

$$\begin{cases} u_{tt} - \chi u_{xx} + \gamma \beta v_{xx} + \partial_t^{\alpha, \eta} u = 0, & x \in [0, L], \quad t \geq 0, \\ v_{tt} - \beta v_{xx} + \gamma \beta u_{xx} = 0, & x \in [0, L], \quad t \geq 0, \\ u(x, 0) = u_0(x), \quad u_t(x, 0) = u_1(x), & x \in [0, L], \\ v(x, 0) = v_0(x), \quad v_t(x, 0) = v_1(x), & x \in [0, L], \\ u(0, t) = u(L, t) = 0, \quad v(0, t) = v(L, t) = 0, & t \geq 0, \end{cases} \quad (2)$$

onde $\partial_t^{\alpha, \eta}$ é o operador integro-diferencial fracionário de Caputo exponencialmente modificado de ordem α e peso η , definido por:

$$\partial_t^{\alpha, \eta} u(t) = \mathcal{I}^{1-\alpha, \eta} u'(t) := \frac{1}{\Gamma(1-\alpha)} \int_0^t e^{-\eta(t-s)} (t-s)^{-\alpha} u'(s) ds,$$

onde $0 < \alpha < 1$ e $\eta \geq 0$.

Modelo Ampliado

Lema 1

Sejam $\mathfrak{C} = \frac{\text{sen}(\alpha\pi)}{\pi} = \frac{1}{\Gamma(\alpha)\Gamma(1-\alpha)}$ e $\mu(\xi) = |\xi|^{(2\alpha-1)/2}$ ($\xi \in \mathbb{R}$ e $0 < \alpha < 1$).

A relação entre a entrada U e a saída \mathcal{O} do seguinte sistema

$$\varphi_t(t, \xi) + |\xi|^2 \varphi(t, \xi) = \mu(\xi) U(t), \quad \xi \in \mathbb{R}, \quad t > 0,$$

$$\varphi(0, \xi) = 0,$$

$$\mathcal{O}(t) = \mathfrak{C} \int_{\mathbb{R}} \mu(\xi) \varphi(t, \xi) d\xi,$$

é dada por $\mathcal{O}(t) = \mathcal{I}^{1-\alpha, \eta} U(t)$, onde $U \in C([0, +\infty))$.

Modelo Ampliado

$$\left\{ \begin{array}{l} u_{tt}(x, t) - \chi u_{xx}(x, t) + \gamma \beta v_{xx}(x, t) + \mathfrak{E} \int_{\mathbb{R}} \mu(\xi) \varphi(x, t, \xi) d\xi = 0, \\ v_{tt}(x, t) - \beta v_{xx}(x, t) + \gamma \beta u_{xx}(x, t) = 0, \\ \varphi_t(x, t, \xi) + (|\xi|^2 + \eta) \varphi(x, t, \xi) = \mu(\xi) u_t(x, t), \\ u(x, 0) = u_0(x), \quad u_t(x, 0) = u_1(x), \\ v(x, 0) = v_0(x), \quad v_t(x, 0) = v_1(x), \\ u(0, t) = u(L, t) = 0, \quad v(0, t) = v(L, t) = 0, \\ \varphi(x, 0, \xi) = 0, \end{array} \right. \quad (3)$$

Energia do Modelo Ampliado

A *energia* do sistema ampliado é dada por:

$$E(t) = \frac{1}{2} \left[\|u_t(t)\|_{L^2(0,L)}^2 + \|v_t(t)\|_{L^2(0,L)}^2 + \int_0^L X^T A X \, dx \right] + \frac{c}{2} \|\varphi(t)\|_{L^2(\mathbb{R}; L^2(0,L))}^2,$$

$$X^T A X = \begin{pmatrix} u_x & v_x \end{pmatrix} \begin{pmatrix} \chi & -\gamma\beta \\ -\gamma\beta & \beta \end{pmatrix} \begin{pmatrix} u_x \\ v_x \end{pmatrix} = \chi u_x^2 + \beta v_x^2 - 2\gamma\beta u_x v_x \geq 0.$$

Energia do Modelo Ampliado

A *energia* do sistema ampliado é dada por:

$$E(t) = \frac{1}{2} \left[\|u_t(t)\|_{L^2(0,L)}^2 + \|v_t(t)\|_{L^2(0,L)}^2 + \int_0^L X^T A X \, dx \right] + \frac{\mathfrak{C}}{2} \|\varphi(t)\|_{L^2(\mathbb{R}; L^2(0,L))}^2,$$

$$X^T A X = \begin{pmatrix} u_x & v_x \end{pmatrix} \begin{pmatrix} \chi & -\gamma\beta \\ -\gamma\beta & \beta \end{pmatrix} \begin{pmatrix} u_x \\ v_x \end{pmatrix} = \chi u_x^2 + \beta v_x^2 - 2\gamma\beta u_x v_x \geq 0.$$

A energia E satisfaz

$$\frac{d}{dt} E(t) = -\mathfrak{C} \int_{\mathbb{R}} (|\xi|^2 + \eta) \|\varphi(t, \xi)\|_{L^2(0,L)}^2 d\xi$$

Lemas Técnicos

Lema 2

Se $0 < \alpha < 1$ e $\eta \geq 0$, então

$$(i) \quad C(\alpha, \eta) := \int_{\mathbb{R}} \frac{|\xi|^{2\alpha-1}}{|\xi|^2 + \eta + 1} d\xi < +\infty;$$

$$(ii) \quad D(\alpha, \eta) := \int_{\mathbb{R}} \frac{|\xi|^{2\alpha-1}}{(|\xi|^2 + \eta + 1)^2} d\xi < +\infty.$$

Se $\eta > 0$ e $\lambda \in \mathbb{R}$, ou se $\eta = 0$ e $\lambda > 0$, então

$$(iii) \quad E(\lambda, \alpha, \eta) := \int_{\mathbb{R}} \frac{|\xi|^{2\alpha-1}}{|\xi|^2 + \eta + i\lambda} d\xi < +\infty.$$

Além disso, dada $h \in L^2(\mathbb{R}; L^2(0, L))$ tem-se

$$(iv) \quad H(x, \lambda, \alpha, \eta) := \int_{\mathbb{R}} \frac{|\xi|^{\frac{2\alpha-1}{2}} h(x, \xi)}{|\xi|^2 + \eta + i\lambda} d\xi \in L^2(0, L)$$

Formulação do Semigrupo Associado

$$\mathcal{H} = [H_0^1(0, L)]^2 \times [L^2(0, L)]^2 \times L^2(\mathbb{R}; L^2(0, L)),$$

munido do seguinte produto interno

$$\begin{aligned} \langle U, \tilde{U} \rangle_{\mathcal{H}} &= \chi \langle u, \tilde{u} \rangle_{H_0^1(0, L)} + \beta \langle v, \tilde{v} \rangle_{H_0^1(0, L)} - \gamma \beta \langle u, \tilde{v} \rangle_{H_0^1(0, L)} \\ &\quad - \gamma \beta \langle v, \tilde{u} \rangle_{H_0^1(0, L)} + \langle \phi, \tilde{\phi} \rangle_{L^2(0, L)} + \langle \psi, \tilde{\psi} \rangle_{L^2(0, L)} \\ &\quad + \mathfrak{E} \langle \varphi, \tilde{\varphi} \rangle_{L^2(\mathbb{R}; L^2(0, L))}, \end{aligned}$$

onde $U = (u, v, \phi, \psi, \varphi)^T$ e $\tilde{U} = (\tilde{u}, \tilde{v}, \tilde{\phi}, \tilde{\psi}, \tilde{\varphi})^T$.

Formulação do Semigrupo Associado

A norma proveniente é dada por

$$\|U\|_{\mathcal{H}}^2 = \int_0^L X^T A X \, dx + \|\phi\|_{L^2(0,L)}^2 + \|\psi\|_{L^2(0,L)}^2 + \mathbf{e} \|\varphi\|_{L^2(\mathbb{R}; L^2(0,L))}^2,$$

onde $A = \begin{pmatrix} \chi & -\gamma\beta \\ -\gamma\beta & \beta \end{pmatrix}$ e $X = \begin{pmatrix} u_x \\ v_x \end{pmatrix}$.

Formulação do Semigrupo Associado

A norma proveniente é dada por

$$\|U\|_{\mathcal{H}}^2 = \int_0^L X^T A X \, dx + \|\phi\|_{L^2(0,L)}^2 + \|\psi\|_{L^2(0,L)}^2 + \mathfrak{e} \|\varphi\|_{L^2(\mathbb{R}; L^2(0,L))}^2,$$

onde $A = \begin{pmatrix} \chi & -\gamma\beta \\ -\gamma\beta & \beta \end{pmatrix}$ e $X = \begin{pmatrix} u_x \\ v_x \end{pmatrix}$.

Observe que

$$\begin{aligned} \left\| \begin{pmatrix} u \\ v \end{pmatrix} \right\|_{[H_0^1(0,L)]^2}^2 &:= \int_0^L X^T A X \, dx \\ &= \chi \|u\|_{H_0^1(0,L)}^2 + \beta \|v\|_{H_0^1(0,L)}^2 - 2\gamma\beta \langle u, v \rangle_{H_0^1(0,L)} \end{aligned}$$

define uma norma em $[H_0^1(0,L)]^2$.

Formulação do Semigrupo Associado

Fazendo $u_t = \phi$ e $v_t = \psi$, podemos reescrever o problema ampliado (3) na forma de Cauchy:

$$U_t(t) = \mathcal{A}U(t), \quad U(0) = U_0, \quad \forall t > 0, \quad (4)$$

onde $U = (u, v, \phi, \psi, \varphi)^T$, $U_0 = (u_0, v_0, u_1, v_1, 0)^T$, e $\mathcal{A} : \mathcal{D}(\mathcal{A}) \subset \mathcal{H} \rightarrow \mathcal{H}$ é o operador

$$\mathcal{A} \begin{pmatrix} u \\ v \\ \phi \\ \psi \\ \varphi \end{pmatrix} = \begin{pmatrix} \phi \\ \psi \\ \chi u_{xx} - \gamma \beta v_{xx} - \mathfrak{e} \int_{\mathbb{R}} \mu(\xi) \varphi(\xi) d\xi \\ \beta v_{xx} - \gamma \beta u_{xx} \\ -(|\xi|^2 + \eta) \varphi(\xi) + \mu(\xi) \phi \end{pmatrix}. \quad (5)$$

Formulação do Semigrupo Associado

com domínio

$$\mathcal{D}(\mathcal{A}) = \left\{ (u, v, \phi, \psi, \varphi)^T \in \mathcal{H} : u, v \in H_0^1(0, L) \cap H^2(0, L), \phi, \psi \in H_0^1(0, L), \right. \\ \left. |\xi|\varphi \in L^2(\mathbb{R}; L^2(0, L)), -(|\xi|^2 + \eta)\varphi + \mu(\xi)\phi \in L^2(\mathbb{R}; L^2(0, L)) \right\}.$$

Boa-Colocação

Theorem 1 (Existência e Unicidade de Solução)

Se $U_0 \in \mathcal{H}$, o problema de Cauchy (4) admite uma única solução fraca $U \in C([0, +\infty); \mathcal{H})$, dada por $U(t) = e^{tA}U_0$.

Para $U_0 \in \mathcal{D}(\mathcal{A})$, a solução encontrada é uma solução forte com a seguinte regularidade

$$U \in C([0, +\infty); \mathcal{D}(\mathcal{A})) \cap C^1([0, +\infty); \mathcal{H}).$$

Esboço da Demonstração

Utilizar o Teorema de Lumer-Phillips para provar que o operador \mathcal{A} é gerador infinitesimal de um C_0 -semigrupo de contração.

Esboço da Demonstração

Utilizar o Teorema de Lumer-Phillips para provar que o operador \mathcal{A} é gerador infinitesimal de um C_0 -semigrupo de contração.

- (i) $Re \langle \mathcal{A}U, U \rangle_{\mathcal{H}} = -\mathfrak{C} \int_{\mathbb{R}} (|\xi|^2 + \eta) \|\varphi(\xi)\|_{L^2(0, L)}^2 d\xi \leq 0.$
- (ii) $(I - \mathcal{A})$ é sobrejetivo.

Esboço da Demonstração

A condição (ii) equivale a encontrar um vetor $(u, v) \in [H_0^1(0, L)]^2$ tal que

$$\mathcal{B}((u, v), (\tilde{u}, \tilde{v})) = \mathcal{L}(\tilde{u}, \tilde{v}), \quad (6)$$

onde $\mathcal{B} : [H_0^1(0, L)]^2 \times [H_0^1(0, L)]^2 \rightarrow \mathbb{R}$ é a forma bilinear definida por

$$\mathcal{B}((u, v), (\tilde{u}, \tilde{v})) = C_1 \int_0^L u \tilde{u} dx + \int_0^L v \tilde{v} dx + \int_0^L X^T A \tilde{X} dx,$$

with $A = \begin{pmatrix} \chi & -\gamma\beta \\ -\gamma\beta & \beta \end{pmatrix}$, $X = \begin{pmatrix} u_x \\ v_x \end{pmatrix}$ and $\tilde{X} = \begin{pmatrix} \tilde{u}_x \\ \tilde{v}_x \end{pmatrix}$, and

$\mathcal{L} : [H_0^1(0, L)]^2 \rightarrow \mathbb{R}$ is the linear form defined by

$$\mathcal{L}(\tilde{u}, \tilde{v}) = \int_0^L F_1 \tilde{u} dx + \int_0^L F_2 \tilde{v} dx - \mathfrak{e} \int_0^L \tilde{u} \int_{\mathbb{R}} \frac{\mu(\xi) h(\xi) d\xi}{|\xi|^2 + \eta + 1} dx.$$

Estabilidade Exponencial

Para obter a Estabilidade Exponencial utilizamos o seguinte resultado:

Theorem 2 (Gearhart-Prüss-Huang)

Seja $\{S(t)\}_{t \geq 0}$ um C_0 -semigrupo de contração sobre um espaço de Hilbert \mathcal{H} . Se $\{S(t)\}_{t \geq 0}$ é gerado pelo operador \mathcal{A} , então $\{S(t)\}_{t \geq 0}$ é exponencialmente estável se, e somente se

$$\rho(\mathcal{A}) \supset i\mathbb{R} \quad \text{e} \quad \limsup_{|\lambda| \rightarrow +\infty} \|(i\lambda\mathcal{I} - \mathcal{A})^{-1}\|_{\mathcal{L}(H)} < \infty, \quad \forall \lambda \in \mathbb{R}.$$

Estabilidade Exponencial

Proposição 1

Se $\lambda \in \mathbb{R}$, então $i\lambda\mathcal{I} - \mathcal{A}$ é injetivo.

Estabilidade Exponencial

Proposição 1

Se $\lambda \in \mathbb{R}$, então $i\lambda\mathcal{I} - \mathcal{A}$ é injetivo.

Proposição 2

Se $\eta = 0$, então o operador \mathcal{A} não é invertível e consequentemente $0 \in \sigma(\mathcal{A})$.

Estabilidade Exponencial

Proposição 1

Se $\lambda \in \mathbb{R}$, então $i\lambda\mathcal{I} - \mathcal{A}$ é injetivo.

Proposição 2

Se $\eta = 0$, então o operador \mathcal{A} não é invertível e conseqüentemente $0 \in \sigma(\mathcal{A})$.

Demonstração. Seja $W_0 = (\text{sen}(\pi x/L), 0, 0, 0, 0) \in \mathcal{H}$ e suponha que existe $U_0 = (u_0, v_0, \phi_0, \psi_0, \varphi_0) \in \mathcal{D}(\mathcal{A})$ tal que $\mathcal{A}U_0 = W_0$. Nesse caso, $\varphi_0(\xi) = |\xi|^{\frac{2\alpha-5}{2}} \text{sen}(\pi x/L)$. Contudo, $\varphi_0 \notin L^2(\mathbb{R}; L^2(0, L))$ para $0 < \alpha < 1$.

□

Estabilidade Exponencial

Proposição 3

- (a) Se $\eta = 0$, então $i\lambda\mathcal{I} - \mathcal{A}$ é sobrejetivo, para $\lambda \neq 0$.
- (b) Se $\eta > 0$ e $\lambda \in \mathbb{R}$, então $i\lambda\mathcal{I} - \mathcal{A}$ é sobrejetivo.

Estabilidade Exponencial

Proposição 3

- (a) Se $\eta = 0$, então $i\lambda\mathcal{I} - \mathcal{A}$ é sobrejetivo, para $\lambda \neq 0$.
- (b) Se $\eta > 0$ e $\lambda \in \mathbb{R}$, então $i\lambda\mathcal{I} - \mathcal{A}$ é sobrejetivo.

Observe que, como mostrado na Proposição 2, para $\eta = 0$, temos $0 \in \sigma(\mathcal{A})$, e portanto, $i\mathbb{R} \not\subset \rho(\mathcal{A})$. Portanto, de acordo com o Teorema de Gearhart-Prüss-Huang acima, segue-se que o semigrupo $\{e^{t\mathcal{A}}\}_{t \geq 0}$ gerado pelo operador \mathcal{A} não é exponencialmente estável e, portanto, a solução $U(t) = e^{t\mathcal{A}}U_0$ o problema (4) não decai exponencialmente.

Estabilidade Exponencial

Por outro lado, tomando $\eta > 0$, a Proposição 1 e o item (b) da Proposição 3 garantem que $i\mathbb{R} \subset \rho(\mathcal{A})$, e Portanto, de acordo com o Teorema de Gearhart-Prüss-Huang, a estabilidade exponencial é equivalente à seguinte condição

$$\limsup_{|\lambda| \rightarrow \infty} \|(i\lambda\mathcal{I} - \mathcal{A})^{-1}\|_{\mathcal{L}(H)} < +\infty.$$

Estabilidade Exponencial

Por outro lado, tomando $\eta > 0$, a Proposição 1 e o item (b) da Proposição 3 garantem que $i\mathbb{R} \subset \rho(\mathcal{A})$, e Portanto, de acordo com o Teorema de Gearhart-Prüss-Huang, a estabilidade exponencial é equivalente à seguinte condição

$$\limsup_{|\lambda| \rightarrow \infty} \|(i\lambda\mathcal{I} - \mathcal{A})^{-1}\|_{\mathcal{L}(H)} < +\infty.$$

Theorem 3

Se $\eta > 0$, então o C_0 -semigrupo de contração $\{e^{t\mathcal{A}}\}_{t \geq 0}$ gerado por \mathcal{A} é exponencialmente estável em \mathcal{H} , isto é, existem constantes C e $\omega > 0$ tais que

$$\|e^{t\mathcal{A}}U_0\|_{\mathcal{H}} \leq Ce^{-\omega t}, \quad \forall t \geq 0.$$

Esboço da prova

Argumentar por contradição!

Esboço da prova

Argumentar por contradição! Nesse caso existe uma sequência de números reais $(\lambda_n)_{n \in \mathbb{N}}$ e uma sequência de vetores $(W_n)_{n \in \mathbb{N}} = (f_{1n}, f_{2n}, g_{1n}, g_{2n}, h_n)_{n \in \mathbb{N}}$ em \mathcal{H} tais que $\lambda_n \rightarrow +\infty$ e

$$\|(\tilde{\lambda}_n \mathcal{I} - \mathcal{A})^{-1} W_n\| \geq n \|W_n\|,$$

onde $\tilde{\lambda}_n = i\lambda_n$.

Esboço da prova

Argumentar por contradição! Nesse caso existe uma sequência de números reais $(\lambda_n)_{n \in \mathbb{N}}$ e uma sequência de vetores $(W_n)_{n \in \mathbb{N}} = (f_{1n}, f_{2n}, g_{1n}, g_{2n}, h_n)_{n \in \mathbb{N}}$ em \mathcal{H} tais que $\lambda_n \rightarrow +\infty$ e

$$\|(\tilde{\lambda}_n \mathcal{I} - \mathcal{A})^{-1} W_n\| \geq n \|W_n\|,$$

onde $\tilde{\lambda}_n = i\lambda_n$.

Como $\tilde{\lambda}_n \in \rho(\mathcal{A})$, existe uma sequência de vetores $(U_n)_{n \in \mathbb{N}} = (\phi_n, \psi_n, u_n, v_n, \varphi_n)_{n \in \mathbb{N}}$ em $\mathcal{D}(\mathcal{A})$ tal que $\|U_n\| = 1$ e $(\tilde{\lambda}_n \mathcal{I} - \mathcal{A})^{-1} W_n = U_n$, para todo $n \in \mathbb{N}$.

Bibliografia

-  A. Benaissa, K. Abderrahmane. **Well-posedness and energy decay of solutions to a Bresse system with a boundary dissipation of fractional derivative type.** Discrete Contin. Dyn. Syst. Ser. B. Vol. 23. 10(2018)4361-4395.
-  K. Ammari, H. Fathi, L. Robbiano. **Fractional-Feedback stabilization for a class of evolution systems.** J. Differential Equations. 268(2020)5751-5791.
-  K. A. Morris and A. O. Ozer **Strong stabilization of piezoelectric beams with magnetic,** in Proc, of 52nd IEEE Conference on Decision and Control. (2013) 3014-3019.